

УДК 519.63

## АНАЛИТИЧЕСКИЕ ВЫРАЖЕНИЯ ДЛЯ ВЫЧИСЛЕНИЯ НАПРЯЖЕНИЙ В УГОЛЬНОМ ПЛАСТЕ

Кудайбергенов М.К., докторант

Казахский гуманитарно-юридический инновационный университет,  
г. Семей, Казахстан

В работе рассмотрена плоская задача о деформировании горизонтального угольного пласта конечной длины находящимся под действием вышележащих пород и лежащим между двумя штреками. Построено аналитическое решение в виде ряда и получены аналитические выражения для вычисления напряжений.

Вследствие большой протяженности пласта по сравнению с его мощностью и расстоянием между штреками считаем, что применима модель плоского деформированного состояния [5]. В этом случае уравнения равновесия Навье записывается в следующем виде:

$$\frac{\partial \sigma_x}{\partial x} + \frac{\partial \tau_{xz}}{\partial z} = 0, \quad \frac{\partial \tau_{xz}}{\partial z} + \frac{\partial \sigma_z}{\partial z} = 0, \quad (1)$$

Напряженное состояние в пласте описывается уравнением неразрывности деформации Сен-Венана и законом Гука

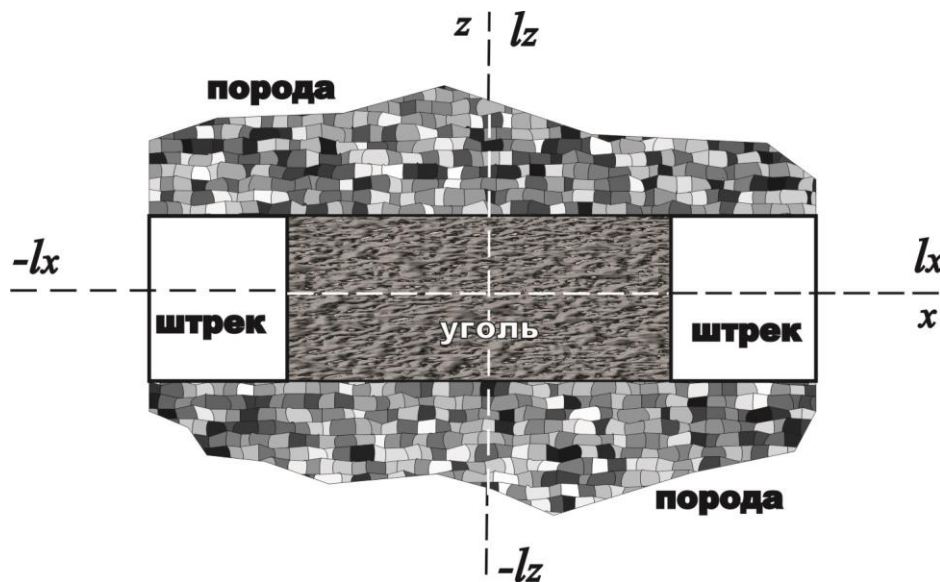


Рисунок 1: Модель угольного пласта и система координат, принятая в работе.

Считаем, что рассматриваемая система является уравновешенной (угольный пласт, находящийся под действием на него сил, неподвижен). В

этом случае момент сил и сумма сил, действующие на пласт, должны быть равны нулю. Т.е., должны удовлетворяться следующие равенства:

$$\int_{-l_x}^{l_x} [x\sigma_z(x, l_z) - l_z\tau_{xz}(x, l_z)]dx + \int_{-l_x}^{-l_x} [x\sigma_z(x, l_z) - l_z\tau_{xz}(x, l_z)]dx = 0 \quad (2)$$

$$\int_{-l_x}^{l_x} \sigma_z(x, l_z)dx = \int_{-l_x}^{l_x} \sigma_z(x, -l_z)dx, \quad \int_{-l_x}^{l_x} \tau_{xz}(x, l_z)dx = \int_{-l_x}^{l_x} \tau_{xz}(x, -l_z)dx$$

или, принимая во внимание (4),

$$\frac{1}{2} \left( \int_{-l_x}^{l_x} x f_1(x) dx - \int_{-l_x}^{l_x} x f_2(x) dx \right) = l_z \int_{-l_x}^{l_x} g_1(x) dx, \quad (3)$$

$$\int_{-l_x}^{l_x} f_1(x) dx = \int_{-l_x}^{l_x} f_2(x) dx, \quad \int_{-l_x}^{l_x} g_1(x) dx = \int_{-l_x}^{l_x} g_2(x) dx$$

Следуя хорошо известному подходу для вычисления напряжений (см., например, [5]), введём функцию Эри. Вводим функцию Эри  $\varphi$  так, чтобы уравнения (1) удовлетворялись бы автоматически:

$$\sigma_x = \frac{\partial^2 \varphi}{\partial z^2}, \quad \sigma_z = \frac{\partial^2 \varphi}{\partial x^2}, \quad \tau_{xz} = -\frac{\partial^2 \varphi}{\partial x \partial z} \quad (4)$$

тогда для функции  $\varphi$  будет иметь место бигармоническое уравнение:

$$\Delta^2 \varphi = 0. \quad (5)$$

Для решения уравнения (10) и (9) следуют граничные условия:

$$\begin{aligned} \varphi_{xx}|_{z=\pm l_z} &= \begin{cases} f_1(x) \\ f_2(x) \end{cases}, & \varphi_{xz}|_{z=\pm l_z} &= \begin{cases} g_1(x) \\ g_2(x) \end{cases}, \\ \varphi_{zz}|_{x=\pm l_x} &= 0, & \varphi_{xz}|_{x=\pm l_x} &= 0. \end{aligned} \quad (6)$$

Таким образом, для того чтобы найти напряжения  $\sigma_x$ ,  $\sigma_z$  и  $\tau_{xz}$  в области  $[-l_x, l_x] \times [-l_z, l_z]$  необходимо найти решение задачи  $\Delta^2 \varphi =$

$$0 \text{ и } \varphi_{xx}|_{z=\pm l_z} = \begin{cases} f_1(x) \\ f_2(x) \end{cases}, \quad \varphi_{xz}|_{z=\pm l_z} = \begin{cases} g_1(x) \\ g_2(x) \end{cases}.$$

Чтобы применить математическую технику (как при использовании решений Файлона или Рибьера) для решения задачи (5)-(6), необходимо чтобы для базисных функций  $H_m(x)$  на интервале  $[-l_x, l_x]$  имели место условия на концах:  $H_m(\pm l_x) = 0$ ,  $H'_m(\pm l_x) = 0$ . Функции  $\sin(\pi x/l_x)$  или  $\cos(\pi x/l_x)$  таким условиям не удовлетворяют.

Проведем выборку базисных функций. С.А. Халилов предложил для решения бигармонического уравнения использовать базисные функции

$H_m(x)$  [1], [2] следующего вида:

$$H_m(x) = P_{m+4}^4(x), \quad m = 0, 1, 2 \dots$$

где  $P_{m+4}^4(x)$  - нормированные присоединенные полиномы Лежандра. Система функций  $\{H_m(x)\}_{m=0}^{\infty}$  является полной и ортонормированной на отрезке  $[-1, 1]$ .

Непрерывная функция  $s(x)$  с краевыми значениями  $s(\pm 1) = 0$ ,  $s'(\pm 1) = 0$  может быть разложена в ряд Фурье по системе функций  $\{H_m(x)\}_{n=0}^{\infty}$ , ряд будет сходиться абсолютно и равномерно.

С.А. Халиловым и его соавторами было доказано и показано на численных примерах [1], [3], [4], что функции  $H_m'(x)$  и  $H_m''(x)$  являются квазиортогональными в смысле выполнения условий:

$$\frac{\langle H_n^{(k)}(x), H_m^{(k)}(x) \rangle}{\|H_n^{(k)}(x)\| \|H_m^{(k)}(x)\|} = \theta, \quad |\theta| \approx 0, \quad m \neq n, \quad k = 1, 2.$$

Данное замечательное свойство этих функций позволило применить процедуру Бубнова-Галеркина к поиску решения бигармонического уравнения и значительно её упростить.

Далее ищем решение бигармонического уравнения в виде суммы  $\varphi(x, z) = \varphi_1(x, z) + \varphi_2(x, z)$

Методом неопределенных коэффициентов нетрудно получить  $\varphi_1(x, z)$  в виде полинома:

$$\varphi_1(x, z) = \frac{H}{6} x^3 + \frac{F}{2} x^2 - \frac{G}{3l_x^2} x^3 z + Gxz$$

Очевидно, функция  $\varphi_1(x, z)$  найдена с точностью до линейных функций от  $x$  и  $z$ , поскольку вышеприведённые краевые условия не обеспечивают единственности решения бигармонического уравнения.

Функция  $\varphi_2(x, z)$  является решением бигармонического уравнения (5) и удовлетворяет краевым условиям

$$\begin{aligned} \frac{\partial^2 \varphi_2}{\partial x^2} \Big|_{z=\pm l_z} &= \sum_{m=0}^{\infty} \left\{ \begin{matrix} f_m^1 \\ f_m^2 \end{matrix} \right\} X_m''(x; l_x), & \frac{\partial^2 \varphi_2}{\partial x \partial z} \Big|_{z=\pm l_z} &= \\ & - \sum_{m=0}^{\infty} \left\{ \begin{matrix} g_m^1 \\ g_m^2 \end{matrix} \right\} X_m'(x; l_x), \\ \frac{\partial^2 \varphi_2}{\partial z^2} \Big|_{x=\pm l_x} &= 0, & \frac{\partial^2 \varphi_2}{\partial x \partial z} \Big|_{x=\pm l_x} &= 0. \end{aligned}$$

Данные краевые условия в силу свойств функций  $X_m(x; l_x)$  ( $\forall m$ ) автоматически удовлетворяют соотношениям (3).

Приближённое аналитическое решение  $\varphi_2(x, z)$  будем искать в виде суммы [3]  $\varphi(x, z) = \sum_{m=0}^{\infty} R_m(z) X_m(x; l_x)$ .

Процедура Бубнова-Галёркина, применённая к решению однородного

бигармонического уравнения (5), приведёт к бесконечной системе обыкновенных дифференциальных уравнений

$$\sum_{m=0}^{\infty} [R_m \langle X_m'', X_s'' \rangle - 2R_m'' \langle X_m', X_s' \rangle + R_m'''' \delta_{ms}] = 0, \quad s = 0, 1, 2 \dots \quad (7)$$

здесь  $\delta_{ms}$  - символ Кронекера.

Воспользуемся свойством квазиортогональности первых и вторых производных функций  $X_m(x; l_x)$ , из (7) получим задачи

$$R_m'''' - 2c_m^2 R_m'' + d_m^4 R_m, \quad R_m(\pm l_x) = \begin{cases} f_m^1 \\ f_m^2 \end{cases}, \quad R_m'(\pm l_x) = \begin{cases} g_m^1 \\ g_m^2 \end{cases}, \quad m = 0, 1, 2, \quad (8)$$

$$\text{где } c_m^2 = \|X_m'(\cdot; l_x)\|^2, \quad d_m^4 = \|X_m''(\cdot; l_x)\|^2.$$

Поскольку  $d_m > c_m$  для всех  $m$  [17], четыре корня характеристического уравнения могут быть найдены в виде:  $\pm d_m e^{\pm i\vartheta_m}$ , где  $2\vartheta_m = \arctg \sqrt{d_m^4/c_m^4 - 1}$ . Следовательно, решения задач (8) имеют вид

$$R_m(z) = \hat{L}_m \sin(\vartheta_m z) \text{sh}(d_m z) + \hat{K}_m \cos(\vartheta_m z) \text{ch}(d_m z) + \tilde{L}_m \sin(\vartheta_m z) \text{ch}(d_m z) + \tilde{K}_m \cos(\vartheta_m z) \text{sh}(d_m z),$$

$$\hat{L}_m = \frac{v_m \sin(v_m l_z) \text{sh}(d_m l_z) - d_m \cos(v_m l_z) \text{sh}(d_m l_z)}{\Delta_1} (f_m^1 + f_m^2) - \frac{\cos(v_m l_z) \text{ch}(d_m l_z)}{\Delta_1} (g_m^1 - g_m^2),$$

$$\hat{K}_m = \frac{v_m \cos(v_m l_z) \text{sh}(d_m l_z) - d_m \sin(v_m l_z) \text{ch}(d_m l_z)}{\Delta_1} (f_m^1 + f_m^2) + \frac{\sin(v_m l_z) \text{ch}(d_m l_z)}{\Delta_1} (g_m^1 - g_m^2),$$

$$\tilde{L}_m = \frac{v_m \sin(v_m l_z) \text{sh}(d_m l_z) - d_m \cos(v_m l_z) \text{ch}(d_m l_z)}{\Delta_2} (f_m^1 - f_m^2) - \frac{\cos(v_m l_z) \text{sh}(d_m l_z)}{\Delta_2} (g_m^1 + g_m^2),$$

$$\tilde{K}_m = \frac{v_m \cos(v_m l_z) \text{ch}(d_m l_z) - d_m \sin(v_m l_z) \text{sh}(d_m l_z)}{\Delta_2} (f_m^1 - f_m^2) + \frac{\sin(v_m l_z) \text{ch}(d_m l_z)}{\Delta_2} (g_m^1 + g_m^2),$$

$$\Delta_1 = v_m \text{sh}(2d_m l_z) + d_m \sin(2v_m l_z), \quad \Delta_2 = v_m \text{sh}(2d_m l_z) - d_m \sin(2v_m l_z),$$

Суммируя вышеприведённые выражения, приходим к выражению

$$\varphi(x, z) = \frac{H}{6}x^3 + \frac{F}{2}x^2 - \frac{G}{3l_x^2}x^3z + Gxz + \sum_{m=0}^{\infty} R_m(z)X_m(x; l_x),$$

где все необходимые величины получены выше. Из определения (4) для напряжений получим следующие равенства:

$$\sigma_x(x, z) = \sum_{m=0}^{\infty} R_m''(z)X_m(x; l_x)$$

$$\sigma_z(x, z) = Hx + F - 2\frac{G}{l_x^2}xz + \sum_{m=0}^{\infty} R_m(z)X_m''(x; l_x),$$

$$\tau_{xz}(x, z) = -G\left(1 - \frac{x^2}{l_x^2}\right) - \sum_{m=0}^{\infty} R_m'(z)X_m'(x; l_x),$$

В результате построены аналитические выражения для приближенного вычисления напряжений в угольном пласте конечной длины, находящимся под действием вышележащих пород и лежащим между двумя штреками. Для приемлемой точности необходимо 20-40 членов ряда при разложении функций  $f_j$  и  $g_j$ , поэтому распределение напряжений, используемое для интерпретации данных геомеханического мониторинга при комбайновой выемке запасов, может определяться в режиме реального времени.

### Список литературы

1. Халилов С.А., Об одной системе координатных функций для решения краевых задач теории пластин и оболочек. Прочность конструкций летательных аппаратов: темат. сб. науч. тр., вып. 4. Харьков: ХАИ, 1977, с. 60-65.
2. Халилов С.А., Новые системы ортонормированных многочленов, некоторые их свойства и приложения. Прочность конструкций летательных аппаратов: темат. сб. науч. тр., вып. 5. Харьков: ХАИ, 1978, с. 46-56.
3. Халилов С.А., Минтюк В.Б., Ткаченко Д.А., Приближенное аналитическое решение бигармонической проблемы в прямоугольнике при однородных главных краевых условиях на двух противоположных сторонах и произвольных – на других. Авиационно-комическая техника и технология, 2013, №5, с. 40-49.
4. Халилов С.А., Минтюк В.Б., Ткаченко Д.А., Построение и исследование аналитико-численного решения задачи об изгибе жёстко защемлённой прямоугольной пластины. Открытые информационные и компьютерные интегрированные технологии, 2011, №49, с. 81-94.
5. Новацкий В., Теория упругости. М: Мир, 1975, 872 с.